

# Informatyczne Systemy Sterowania

## Ćwiczenie 4: Sterowanie szybkością transmisji w sieci komputerowej

Krzysztof Przybylski 239266

19 stycznia 2019

## 1 Wstęp

### 1.1 Cel ćwiczenia

Wykonanie symulacji systemu sterowania ruchem w sieci komputerowej celem:

1. Poznania problemu sterowania ruchem w sieci komputerowej jako przykładu sterowania systemem komputerowym.
2. Nabycia umiejętności wykorzystania pakietu Matlab oraz Simulink do symulacji ww. systemu.

### 1.2 Plan działań

1. Symulacja systemu sterowania szybkością transmisji.  
W trakcie realizacji zadania należy zamodelować obiekt sterowania (mechanizmy sieci komputerowej uwzględniane w problemie sterowania ruchem w sieci komputerowej).
2. Dobór optymalnego regulatora.  
Realizacja zadania polega na
  - (a) Doborze odpowiedniej struktury urządzenia sterującego z grupy regulatorów PID (P, PI, PD, PID).
  - (b) Doborze optymalnych wartości parametrów regulatora.
  - (c) Przeprowadzeniu badań pozwalających na ocenę jakości działania rozpatrywanego systemu.
3. Zastosowanie członów korekcyjnych.  
Realizacja zadania polega na:
  - (a) Zaproponowaniu zastosowania odpowiednich członów korekcyjnych, pozwalających na polepszenie jakości działania systemu.
  - (b) Przeprowadzeniu symulacji działania systemu z takimi członami.
  - (c) Dobraniu optymalnych wartości parametrów członu korekcyjnego.

## 2 Realizacja planu i wyniki

### 2.1 Symulacja systemu sterowania szybkością transmisji

Systemem symulowanym w tym ćwiczeniu będzie system opisany w artykule ” *Complete Stability Region Characterization for PI-AQM*” podanym w literaturze. Jest to sieć, w której:  
 $C$  - przepustowość sieci,  
 $N$  - ilość otwartych sieci TCP,  
 $d$  - opóźnienie pakietów, uzyskaliśmy następującą transmitancję.

$$P(s) = \frac{B}{(s + \alpha)(s + \beta)} e^{-sd} \quad (1)$$

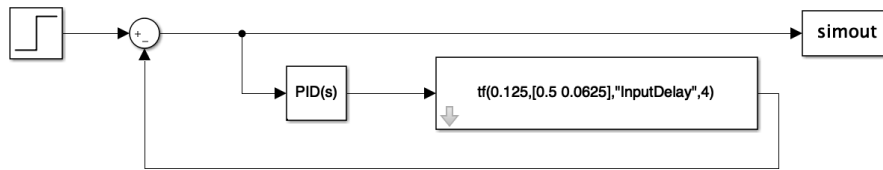
Gdzie  $\alpha = \frac{2N}{d^2C}$ ,  $\beta = \frac{1}{d}$  i  $B = \frac{C^2}{2N}$ .

Do regulowania systemu będę używał regulatorów z rodziny PID.

Żeby zasymulować system w Simulinku pomnożyłem mianownik transmitancji obiektu tak, aby można było wykorzystać go w bloku LTI system.

$$P(s) = \frac{B}{s^2 + (\alpha + \beta)s + \alpha\beta} e^{-sd} \quad (2)$$

Gotowy schemat służący nam do symulacji przedstawiony jest na poniższym obrazku.



Rys. 1: Schemat systemu służący do symulacji.

## 2.2 Dobór optymalnego regulatora

Przy doborze optymalnego regulatora i jego parametrów używałem poniższej funkcji napisanej w Matlabie.

```

1 function testLTI(P, I, D, N, C, d)
2 hold on;
3 load_system('LTI.slx');
4 set_param('LTI/PID Controller1', 'P', num2str(P));
5 set_param('LTI/PID Controller1', 'I', num2str(I));
6 set_param('LTI/PID Controller1', 'D', num2str(D));
7
8 a=2*N/((d^2)*C);
9 b=1/d;
10 B=(C*C)/(2*N*N);
11
12 num = B;
13
14 set_param('LTI/LTI System', 'SYS', [ 'tf(' , num2str(num) , ', [' , num2str(a+b) , ' ' , ←
    num2str(a*b) , ']' , "InputDelay" , ' , num2str(d) , ' ' ] );
15
16 sim('LTI.slx');
17 figure(1);
18 plot(simout.time, simout.signals.values, 'DisplayName', num2str(D));
19
20 end

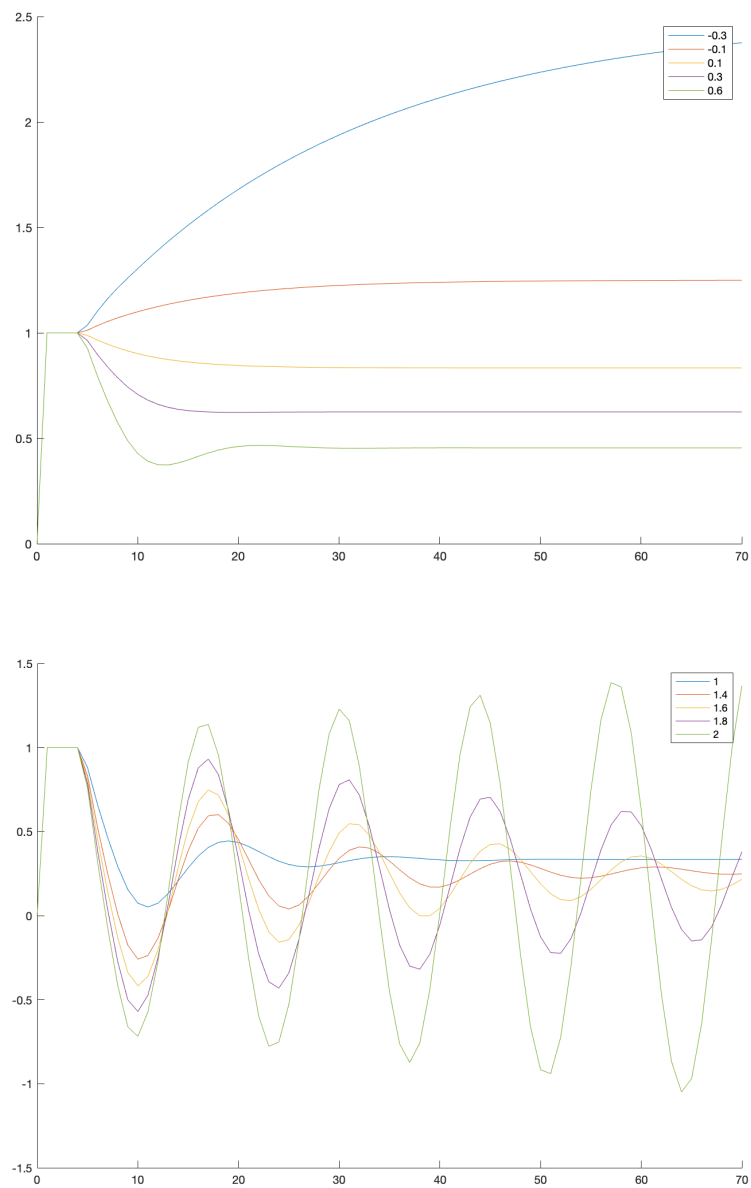
```

Fun. 1: Funkcja testująca system.

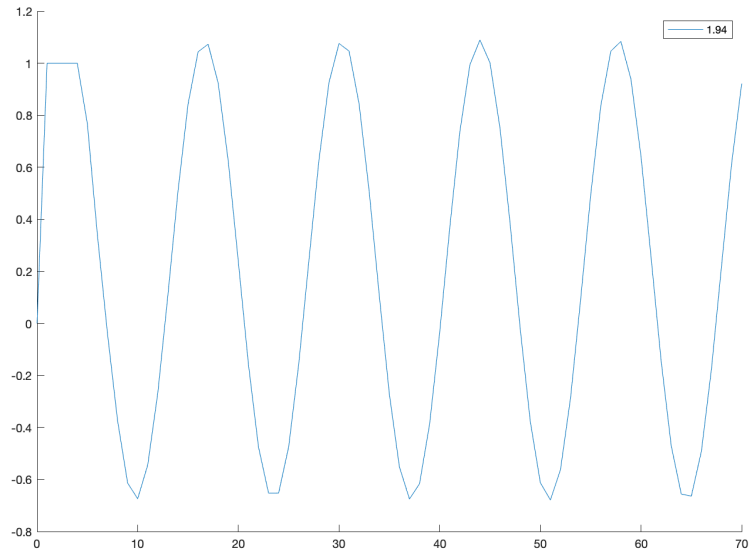
Do testów wybrałem następujące parametry  $N = 6$ ,  $C = 3$ ,  $d = 4$

### 2.2.1 Regulator P

Symulując system z regulatorem P wywoływałem powyższą funkcję, podając wartość 0 dla parametrów  $I$ , oraz  $D$ . W ten sposób uzyskałem poniższe wykresy.



Rys. 2: Wykresy przebiegu błędu regulacji przy zmianie parametru  $P$



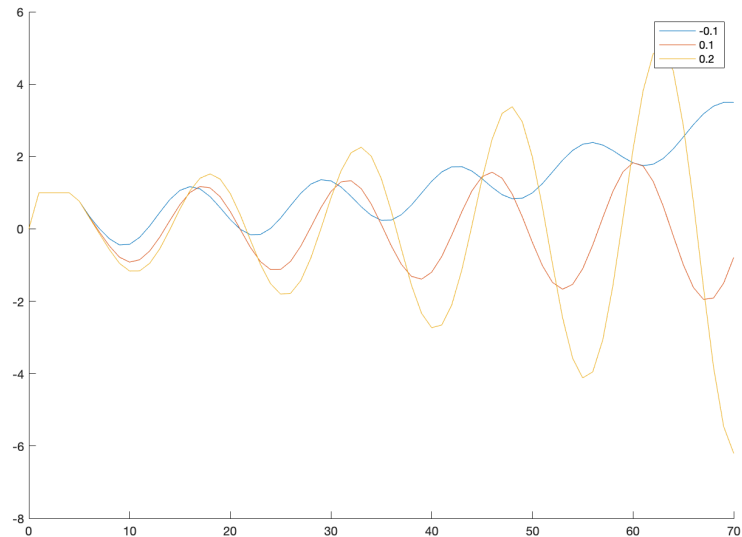
Rys. 3: Wykresy przebiegu błędu regulacji dla parametru  $P = 1.94$

Na wykresach możemy zaobserwować, że:

- Dla ujemnych wartości parametru  $P$  wartość błędu szybko stabilizuje się na pewnym poziomie. Poziom ten jest tym większy, im mniejsza jest wartość parametru  $P$ .
- Dla małych ( $< 1.4$ ) dodatnich wartości parametru  $P$  wartość błędu również szybko stabilizuje się na pewnym poziomie, a poziom ten jest tym mniejszy, im większa jest wartość parametru  $P$ .
- Dla większych wartości dodatnich ( $> 1.4$ ) wykres wartości błędu regulacji wolniej stabilizuje się, a dla  $P \approx 1.94$  przybiera kształt drgań o stałej amplitudzie. Powyżej tej wartości amplituda drgań z czasem rośnie.

### 2.2.2 Regulator PI

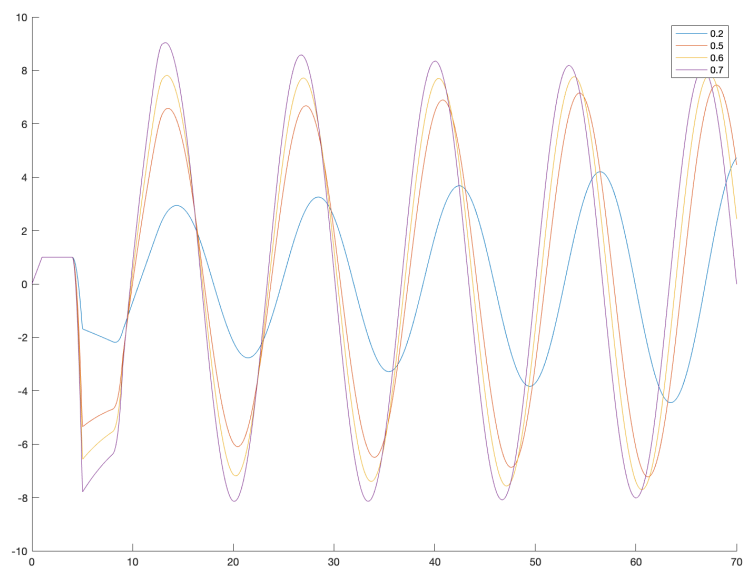
Dla regulatora PI wywołałem funkcję z parametrami  $P = 1.94$  oraz  $D = 0$ . Podobnie jak w przypadku regulatora P, tutaj za wartość optymalną uznałem 0.1, dla niej wykres ma prawie stałą amplitudę błędu.



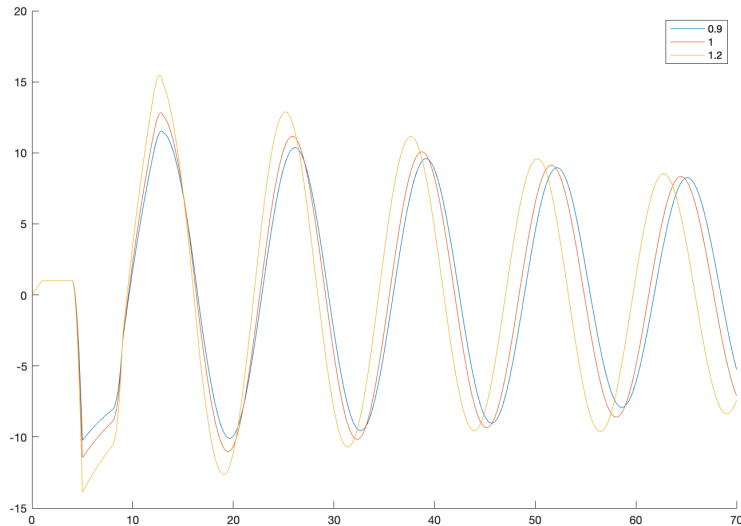
Rys. 4: Wykresy przebiegu błędów regulacji przy zmianie parametru  $I$

### 2.2.3 Regulator PID

Dla regulatora PID wywołałem funkcję z parametrami  $P = 1.94$  oraz  $I = 0.1$ .



Rys. 5: Wykresy przebiegu błędów regulacji przy zmianie parametru  $D$



Rys. 6: Wykresy przebiegu błędów regulacji przy zmianie parametru  $D$

Dla wartości poniżej 0.6 amplituda jest tym większa im mniejsza wartość, dla wartości równej 0.6 błąd ma stałą amplitudę, natomiast powyżej 0.6 amplituda maleje.

#### 2.2.4 Metoda Zieglera-Nicholsa

Zadanie polega na doborze parametrów regulatora PID według zasad Zieglera–Nicholsa

Doświadczalnie znaleźć współczynnik wzmocnienia, dla którego układ traci stabilność.

$p = 1.94$

B. Ustalić okres oscylacji i wzmocnienie krytyczne.

$K_u = 13$

$K_p = 1.07$

C. Według odpowiednich rekomendacji określić wartości parametrów regulatora PID.

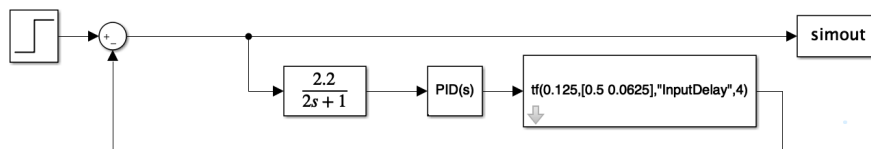
$P = K_p * 0.6 = 0.642$

$I = K_u * 0.5 = 6.5$

$D = K_u * 0.125 = 1.625$

### 2.3 Zastosowanie członu korekcyjnego

#### 2.3.1 Symulacja systemu sterowania szybkością transmisji z członem korekcyjnym



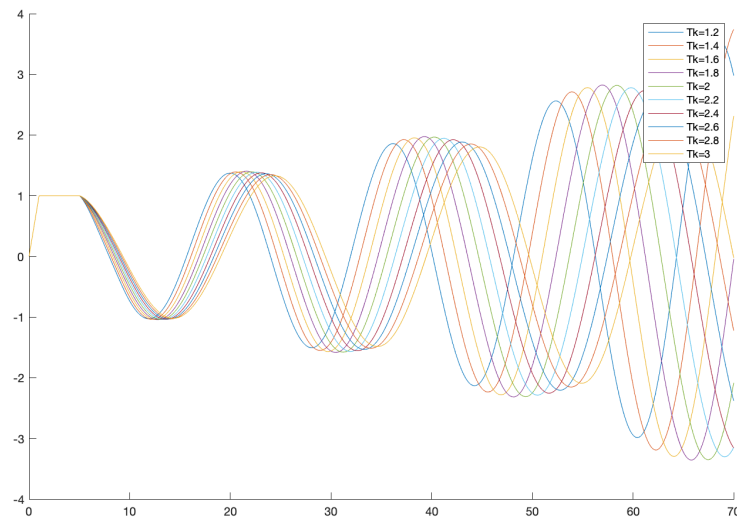
Rys. 7: Schemat systemu z członem korygującym

### 2.3.2 Dobór optymalnych parametrów

```
1 function testLTIKor(P, I, D, N, C, d, start, step, stop)
2 load_system('LTI_kor.slx');
3 hold on;
4 set_param('LTI_kor/PID Controller1', 'P', num2str(P));
5 set_param('LTI_kor/PID Controller1', 'I', num2str(I));
6 set_param('LTI_kor/PID Controller1', 'D', num2str(D));
7
8 a=2*N/((d^2)*C);
9 b=1/d;
10 B=(C*C)/(2*N*N);
11 num = B;
12 set_param('LTI_kor/LTI System','SYS', ['tf(',num2str(num),',',[',num2str(a+b),',',←
    num2str(a*b),','],'InputDelay"',',',num2str(d),',')']);
13
14
15
16 s=start;
17 while(s <= stop)
18 %set_param('LTI_kor/Transfer Fcn', 'Denominator', strcat('[',num2str(s), ' 1]'));
19 set_param('LTI_kor/Transfer Fcn', 'Denominator', strcat('[3 1]'));
20 set_param('LTI_kor/Transfer Fcn', 'Numerator', strcat('[',num2str(s),']'));
21
22 sim('LTI_kor.slx');
23 s= s+step;
24 figure(1);
25 plot(simout.time, simout.signals.values, 'DisplayName', strcat('Tk=',num2str(s)));
26
27
28
29 end
30 hold all;
31 end
```

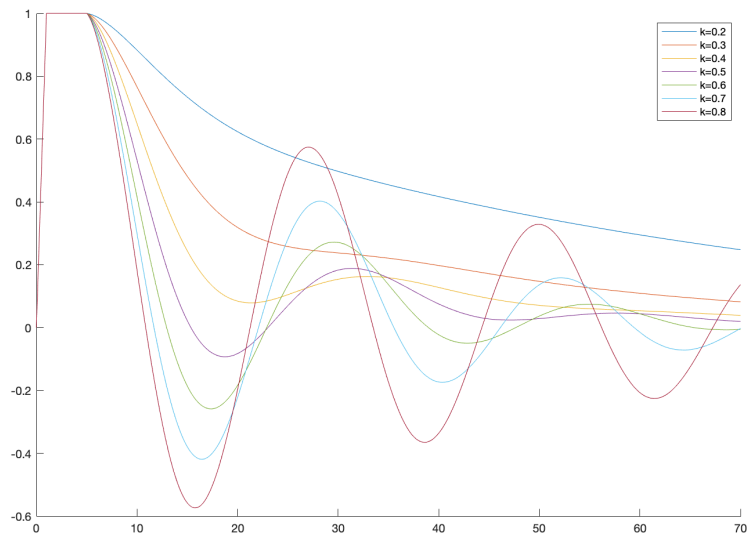
Fun. 2: Funkcja do symulacji systemu z blokiem korekcyjnym

Ustawienia parametrów:  $P = 1.94$ ,  $I = 0.1$ ,  $D = 0.6$ ,  $N = 6$ ,  $C = 3$ ,  $d = 4$



Rys. 8: Wykres błędów dla różnych wartości  $T_k$

Za optymalną wartość uznałem  $T_k = 3$ , gdyż wtedy amplituda jest najmniejsza



Rys. 9: Wykres błędów dla różnych wartości  $k$ , przy  $Tk = 3$

Za optymalną wartość uznałem  $k = 0.5$ , gdyż wtedy amplituda jest najmniejsza

### 3 Wnioski

Z przeprowadzonego ćwiczenia wynika, że największe możliwości sterowania daje regulator PID, najbardziej można wówczas dostosować regulację do naszej funkcji. Człon korekcyjny redukuje wartość błędów. Parametry regulatora można dobrać doświadczalnie - podobnie jak w przypadku regulatorów dwu- i trójpołożeniowych.